

## Ideal vs. reale Pulse

Monday, December 11, 2017 11:12 AM

### Ideale Pulse:

instantan  $\rightarrow$  infinitesimal kurz



"unendliche"  
Pulsleistung

- keine Evolution und Relaxation während Puls
- alle Spin-Pakete werden gleichmäßen angeregt

### Reale Pulse

endliche Dauer  $\rightarrow$  • Spin-Pakete evolvieren und relaxieren während Puls

ohne Relaxation (bzw.  $t_p \ll T_1, T_2$ )  $t_p$ : Pulslänge

$$\frac{d\Theta}{dt} = \vec{M} \times \vec{B}_{\text{eff}} \xrightarrow{\text{für } \Omega_c = 0} \Theta = \gamma \vec{B}_1 \cdot t_p$$

eff. Magnetfeldvektor im RKS:  $\vec{B}_{\text{eff}} = \begin{pmatrix} B_1 \\ 0 \\ B_0 - \frac{\omega_{\mu\nu}}{\gamma} \end{pmatrix}$

für  $\Omega_c \neq 0$

$$t_p^{90^\circ} = \frac{\pi}{2\gamma B_1}, \quad t_p^{180^\circ} = \frac{\pi}{\gamma B_1}$$

$\vec{M}$  präzidiert um z-Achse während Puls

$\rightarrow$  effektive Rotationsrate nimmt ab wenn  $\vec{M}$  nicht  $\perp \vec{B}_{\mu\nu}$  / keine Rotation wenn  $\vec{M} \parallel \vec{B}_{\mu\nu}$

# Inhomogenität

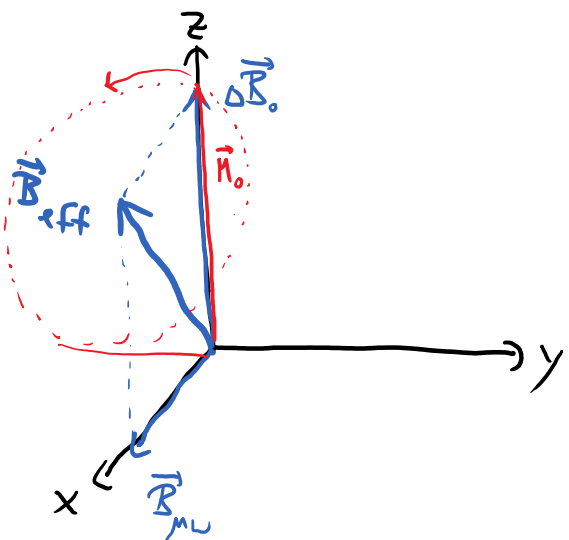
Monday, December 11, 2017 11:55 AM

Für  $\Omega_0 \neq 0 \rightarrow \vec{M}$  präzidiert um effektives Feld

$$\vec{B}_{\text{eff}} = \vec{B}_{\mu\nu} + \Delta \vec{B}_0$$

mit Nutationsfrequenz

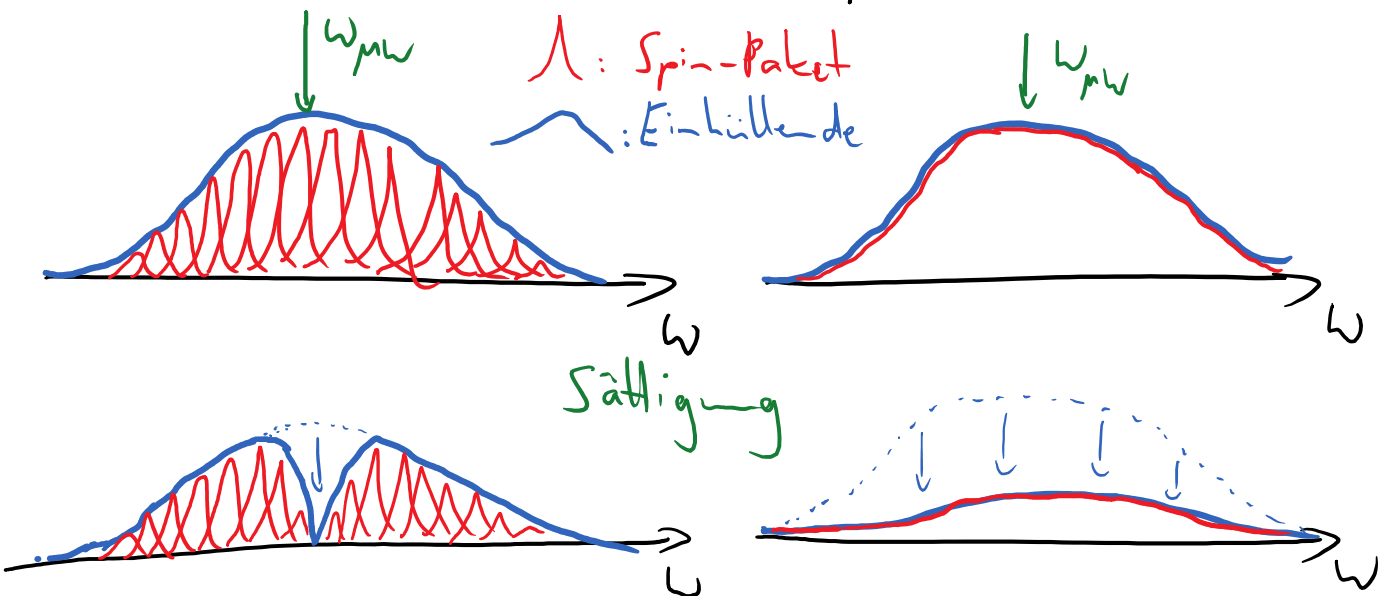
$$\omega_{\text{eff}} = \sqrt{\omega_1^2 + \Omega_0^2}$$



## Inhomogenität (spektral)

EPR-Spektrum resultiert aus sehr vielen "Spin-Paketen" mit jeweils leicht unterschiedlicher Larmorfrequenz.

Nachweis: Lockbrenn-Experiment (Holeburning)

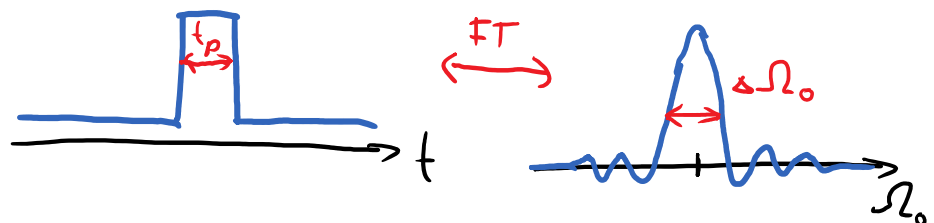


# Anregungsbandbreite

Monday, December 11, 2017 1:00 PM

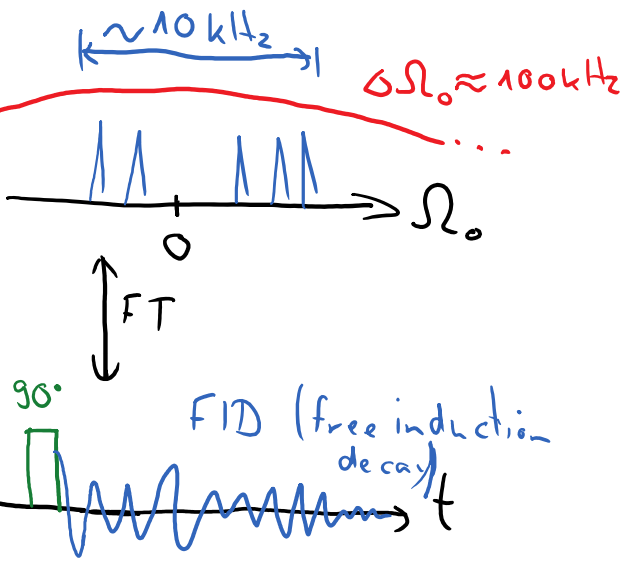
Spin-Pakete mit  $\Delta\Omega_0 > \frac{1}{t_p}$  evolvieren signifikant während Puls  $\rightarrow$  enden nicht in "gewünschter" Richtung (z.B. in xy-Ebene für  $90^\circ$  / in -z für  $180^\circ$ )

Anregungsprofil:

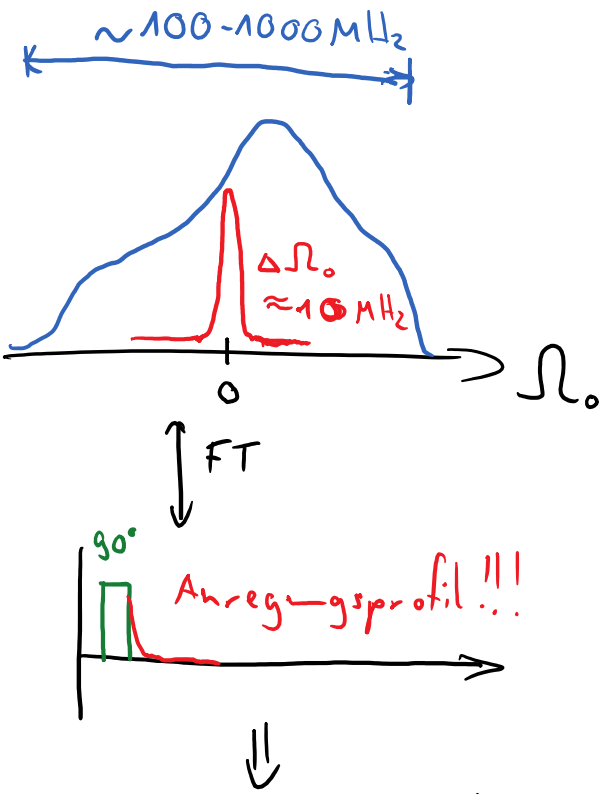


$$\text{Anregungsbandbreite: } \Delta\Omega_0 \approx \frac{2\pi}{t_p}$$

Unterschied NMR / EPR:



mit  $\frac{1}{\Delta\Omega_0} \int_{-\Delta\Omega_0/2}^{\Delta\Omega_0/2} \text{Puls gesamtes Spektrum}$



$\downarrow$   
 $\text{FID Intensität} = f(B_0)$   
 $\rightarrow$  Feld-Sweep zur Aufnahme des Spektrums nötig!

# Effektiver FID-Zerfall

Monday, December 11, 2017 2:12 PM

3 Prozesse führen zu Verlust der Phasenbeziehung:

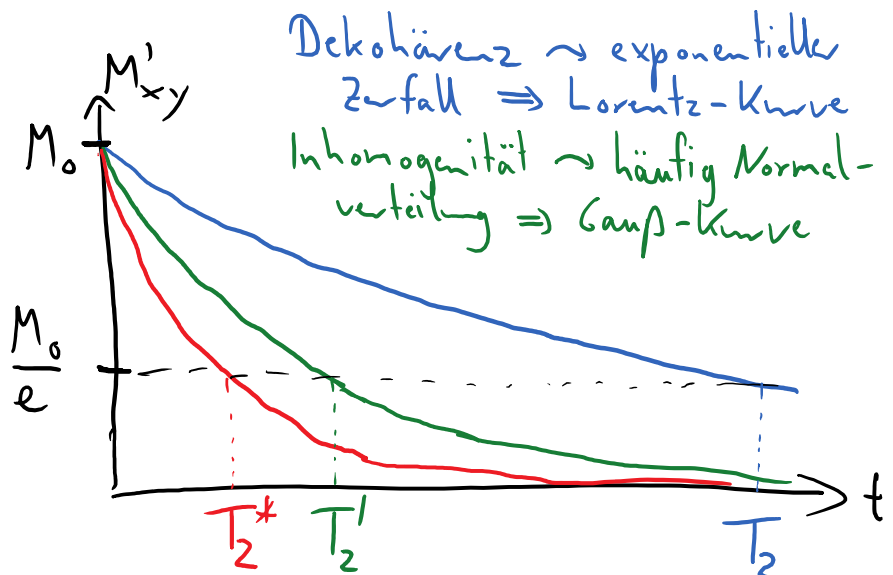
- Inhomogenität in Larmur-Frequenz  $\Rightarrow$  reversibel durch Echos
- Spin-Flip-Flops  $\uparrow \downarrow \rightarrow \downarrow \uparrow$  Zeitkonstante  $\tau_{\text{flipflop}}$   
 $\Rightarrow$  Spin-Spin-Relaxation  $\rightarrow$  2 Spins betroffen!
- Spin-Flip  $\uparrow \rightarrow \downarrow$  Zeitkonstante  $\tau_{\text{flip}}$   
 $\Rightarrow$  Spin-Gitter-Relaxation  
 $\Rightarrow$  irreversibel  $\hookrightarrow$  Dekohärenz

$$\Rightarrow \frac{1}{T_2} = \frac{1}{\tau_{\text{flip}}} + \frac{2}{\tau_{\text{flipflop}}}$$

Effektiver Zerfall  
der transversalen  
Magnetisierung  
während FID/Echo

$$\frac{1}{T_2^*} = \frac{1}{T_2} + \frac{1}{T_2'}$$

effektiver Zerfall  
Zerfall durch  
inhomogenität  
Zerfall durch  
Spin-Spin Relaxation



Dekohärenz  $\sim$  exponentieller Zerfall  $\Rightarrow$  Lorentz-Kurve  
Inhomogenität  $\sim$  häufig Normalverteilung  $\Rightarrow$  Gauß-Kurve

Dekohärenz (1 Spin-Paket)  
Dephasierung (Interferenz vieler Spin-Pakete mit variablen  $\omega_0$ )

mathematisches Modell:  $T_2' \approx \frac{1}{\Delta\omega_0 s}$   $\Delta\omega_0 s$ : inhomogene Linienbreite

$\Rightarrow$  angenommen nur gültig für exponentiellen Zerfall aller Beiträge!

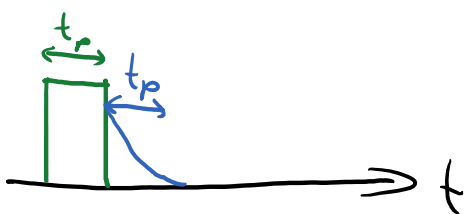
# Totzeit-Problem

Monday, December 3, 2018 6:16 PM

Im Festkörper gilt meist:



Zerfall des FIDs mit  $t_p^{-1}$

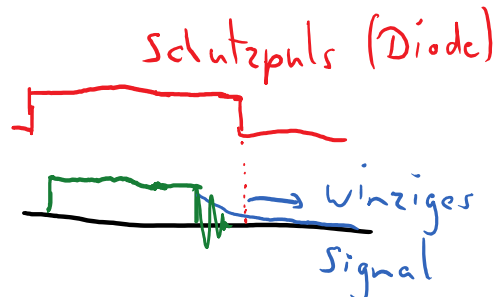


realer Puls: "Abklingen" → mehrere Größenordnungen  
Ring-down FID stärker als FID

Detektor muss während Puls und Ring-down geschützt werden → blind für FID.

↳ Totzeit ca. 100 ns

2 Lösungen: ①  $t_p \gg 100 \text{ ns}$



② Puls-Echo

